

12a Lezione

- **Sezione d'urto di Mott**
- **Fattori di forma**

Rutherford: $\frac{d\sigma(\vartheta)}{d\Omega} \simeq \left(\frac{Z_1 Z_2 e^2}{16\pi\epsilon_0 E_k} \right)^2 \frac{1}{\sin^4 \vartheta/2}$ Non rel.

La sezione d'urto di Mott _

Finora, solo per motivi di semplificazione, si sono **trascurati i ruoli di spin e mom. ang. orbitale**.

Tenendone conto, come è giusto e in certi casi anche indispensabile, si ottiene per la sez. d'urto di diffusione coulombiana, un risultato, **sezione d'urto di Mott** che trascurando il rinculo del nucleo bersaglio, per l'interazione **e-nucleo** si scrive :

$$\frac{d\sigma_{Mott}(\vartheta)}{d\Omega} = \frac{d\sigma_{Ruth}(\vartheta)}{d\Omega} \left(1 - \beta^2 \sin^2 \frac{\vartheta}{2} \right)$$

► **Sez. d'urto di Mott, al crescere di v , cala più rapidamente di quella di Rutherford, con l'angolo ϑ di diffusione.**

Nei casi **fortemente relativistici** $\beta = v/c \rightarrow 1$ e $\frac{d\sigma_{Mott}(\vartheta)}{d\Omega} \simeq \frac{d\sigma_{Ruth}(\vartheta)}{d\Omega} \cos^2 \frac{\vartheta}{2}$

Considerando il **fattore di forma**, si ha quindi, per la sez. d'urto coulombiana di un **bersaglio esteso** :

$$\frac{d\sigma_{Coul}(\vartheta)}{d\Omega} = \frac{d\sigma_{Mott}(\vartheta)}{d\Omega} |F(\vec{q})|^2$$

Non deduciamo sez. d'urto di Mott, ma cerchiamo di capirla **nel limite d'un urto con diffusione all'indietro**, a π radianti.

Si introduce **elicità** H : proiezione dello spin \vec{s} lungo la direzione del moto rappresentata dal versore

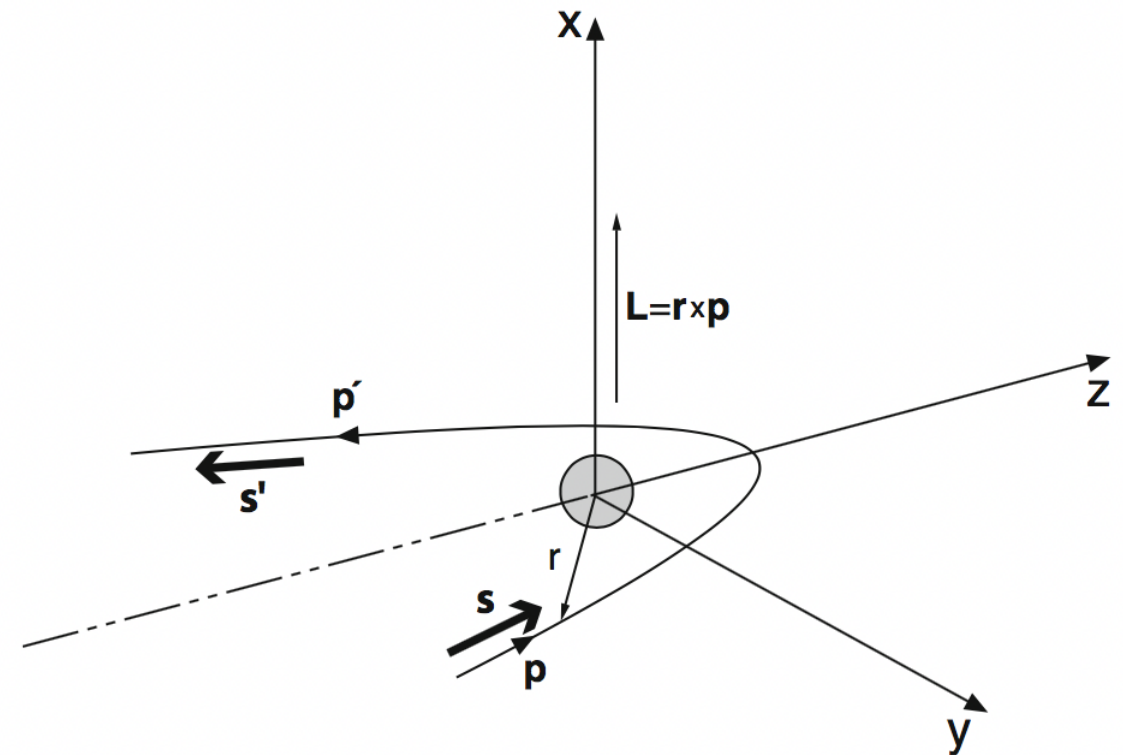
$$\vec{p}/|\vec{p}|: \quad H = \frac{\vec{s} \cdot \vec{p}}{|\vec{s}| |\vec{p}|}$$

Equazione di Dirac $\rightarrow H$ si conserva. Considerando la condizione d'urto in figura, la proiezione dello spin sull'asse z dovrebbe cambiar segno con l'urto, ma è impossibile con un bersaglio di spin nullo, per **conservazione del mom. ang. totale.**

Il mom. ang. orbitale \vec{L} è infatti \perp a z e non può quindi determinare modifiche nella componente z del mom. angolare.

La diffusione a π rad. di particelle relativistiche dovrebbe quindi essere soppressa (sperim. confermato).

Se però il bersaglio ha **spin $\neq 0$** , la proiezione dello spin dell' e può essere modificata durante la diffusione a π rad., e la conservazione del mom. ang. trova compensazione nel concomitante cambiamento di direzione dello spin del bersaglio.



Fattore di forma _ Se Z_2e non puntiforme e a simm. sferica, il potenziale, conglobando anche la carica Z_1e è

$$\Phi(\vec{r}) = \frac{Z_1 Z_2 e^2}{4\pi\epsilon_0} \int \frac{\rho(\vec{r}')}{|\vec{r} - \vec{r}'|} d\vec{r}' \quad \text{con} \quad \int \rho(\vec{r}') d\vec{r}' = 1, \quad \text{dato che} \quad |\vec{r} - \vec{r}'| \quad \text{è invariante per traslazione.}$$

La matrice di transizione diventa :

$$\mathcal{M}(\vec{q}) = \frac{Z_1 Z_2 e^2}{4\pi\epsilon_0 V} \int e^{i\vec{q}\cdot\vec{r}/\hbar} d\vec{r} \int \frac{\rho(\vec{r}')}{|\vec{r} - \vec{r}'|} d\vec{r}' \quad \xrightarrow{\text{red circle}} \quad F(\vec{q})$$

il cui secondo integrale, indicato con $F(\vec{q})$, è la **trasformata di Fourier** della distribuzione di densità di carica elettrica, e viene detto **fattore di forma** della distribuzione di carica.

$$= \frac{Z_1 Z_2 e^2}{4\pi\epsilon_0 V} \int \frac{e^{i\vec{q}\cdot\vec{D}/\hbar}}{D} d\vec{D} \int \rho(\vec{r}') e^{i\vec{q}\cdot\vec{r}'/\hbar} d\vec{r}'$$

La sez. d'urto di diffusione coulombiana per una carica estesa si scrive:

$$\frac{d\sigma(\vartheta)}{d\Omega} = \left(\frac{Z_1 Z_2 e^2}{16\pi\epsilon_0} \right)^2 \frac{4E_f^2}{(pc)^4} \frac{1}{\text{sen}^4 \frac{\vartheta}{2}} |F(\vec{q})|^2$$

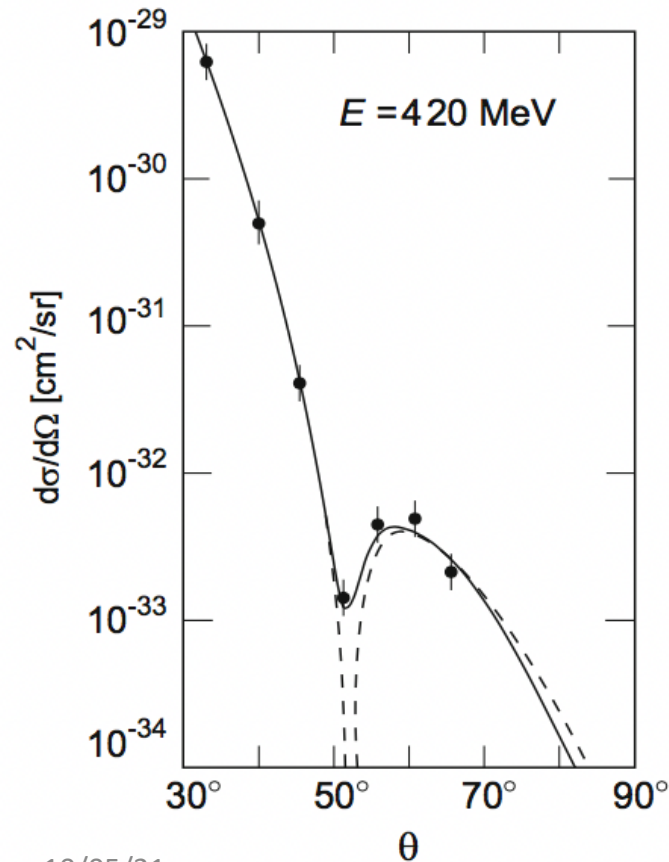
► **Ciò vale solo in approssimazione di Born.**

► Diversamente da caso classico, in cui sez. d'urto per carica puntif. ed estesa coincidono per ogni angolo $\vartheta < \vartheta_0$, nel caso quantistico esse coincidono **solo** per $\vartheta = 0$, cioè $|\vec{q}| = 0$.

Misure fattori di forma (elettrici)

Misurare $d\sigma/d\Omega$ in funzione dell'imp. trasferito $|\vec{q}|$ equivale a farlo in funzione di ϑ o dell'energia dei proiettili, quindi di $|\vec{p}|$, e da' i valori dei fattori di forma per i medesimi valori di $|\vec{q}|$. Interpolando si può ricavare $F(\vec{q}^2)$ come funzione continua. Invertendola si ha la distribuzione di carica, ma invertire la trasf. di Fourier richiede di conoscere $F(\vec{q}^2)$ per ogni valori di $|\vec{q}|$.

► Finitezza di E_k disponibile nel canale d'ingresso, limita però superiormente i valori di $|\vec{q}|$ esplorabili.



Risultati sulla distribuzione di carica per valori $r > R \sim 2\pi\hbar/|\vec{q}|_{max}$, mentre per $r < R$ dipende dall'ipotesi fatta per estrapolare $F(\vec{q}^2)$ con $|\vec{q}| \rightarrow \infty$.

Dal 1953, Hofstadter → campagna misure diffusione di e^- su nuclei e nucleoni.

In figura sez. d'urto differenziale elastica con e^- da 420 MeV su ^{12}C .

Linea tratteggiata → calcolo con onde piane incidenti su una distribuzione sferica e omogenea di carica con superficie diffusa, in approssimazione di Born; linea continua è risultato di un fit sui dati sperimentali.

Si noti andamento diffrattivo, con minimo in $\vartheta \approx 51^\circ$, associato al fattore di forma.

In tabella i fattori di forma calcolati per alcune specifiche forme analitiche della distribuzione di carica e in figura ne sono illustrati gli andamenti.

Si ricordi che tutto è comunque sempre legato all'energia del proiettile, e quindi alla lunghezza d'onda di De Broglie ad esso associata

Distrib. carica	$f(r)$	$F(\vec{q}^2)$	
Puntif.	$\delta(r)/4\pi$	1	Cost.
Espon.	$(a^3/8\pi) \cdot e^{-(ar)}$	$(1 + \vec{q}^2/a^2\hbar^2)^{-2}$	Dipol.
Gauss.	$(a^2/2\pi)^{3/2} \cdot e^{-(a^2r^2/2)}$	$e^{-(\vec{q}^2/2a^2\hbar^2)}$	Gauss.
Sfera omog.	$\begin{cases} 3/4\pi R^3 & \text{per } r \leq R \\ 0 & \text{per } r > R \end{cases}$	$\begin{cases} 3\alpha^{-3}(\text{sen}\alpha - \alpha\text{cos}\alpha) \\ \text{con } \alpha = \vec{q} R/\hbar \end{cases}$	Oscill.

